

Foto 10 .- Disyunción prismática del granito aplítico

Cerro de la Cerca del Santo



Foto 16.- Enclave metamorfico en la granodiorita de El Guijo. Este parece incluir la S_1 de dirección N 117 E/ 42 NE (pico del martillo) y está afectado por fracturas N - S y N 60 E.



Foto 17.- Orientación linear de feldespatos N 20 E (lápiz). Batolito de El Guijo.

Río Guadamatilla al sureste del Cerro Minabrio.



Foto 18.- Calicata de dirección N 110 E relacionada con un indicio de wolframio en el contacto del Culm con el Batolito del El Guijo. Se aprecia claramente la disposición subhorizontal (buzando ligeramente al NE) del contacto.

1 Km al noreste del Cortijo Covatillas, pasado el arroyo Tamujar.

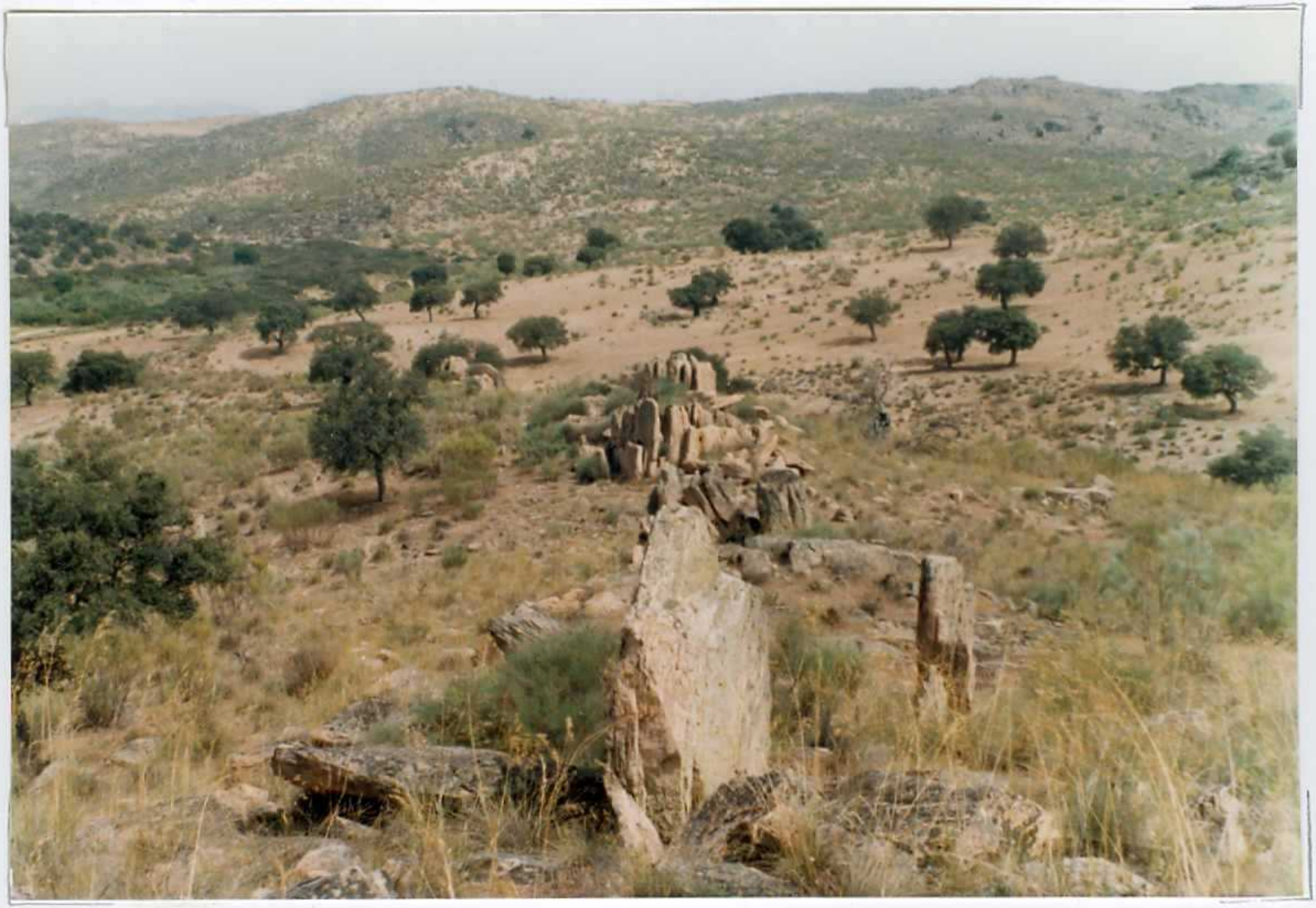


Foto 19.- Panorámica de un dique de porfido granítico de dirección aproximada N-S, al fondo relieves de la granodiorita de El Guijo.
1,5 Kms al suroeste del Cortijo del Buho.



Foto 21.- Orientación planar subhorizontal de los fenocristales de feldespato de la granodiorita de El Guijo.
1,5 Kms al Suroeste del Cortijo del Buho. cerca ya del río Guadamatilla



Foto 22.- Detalle del contacto dique de porfido granítico-granodiorita. Los fenocristales de feldespato del pórfido granítico presentan una "Fabric" planar paralela al contacto(martillo en el pórfido).
2 Kms al sureste del Cortijo de la Encinilla Baja; en el río Guadamatilla

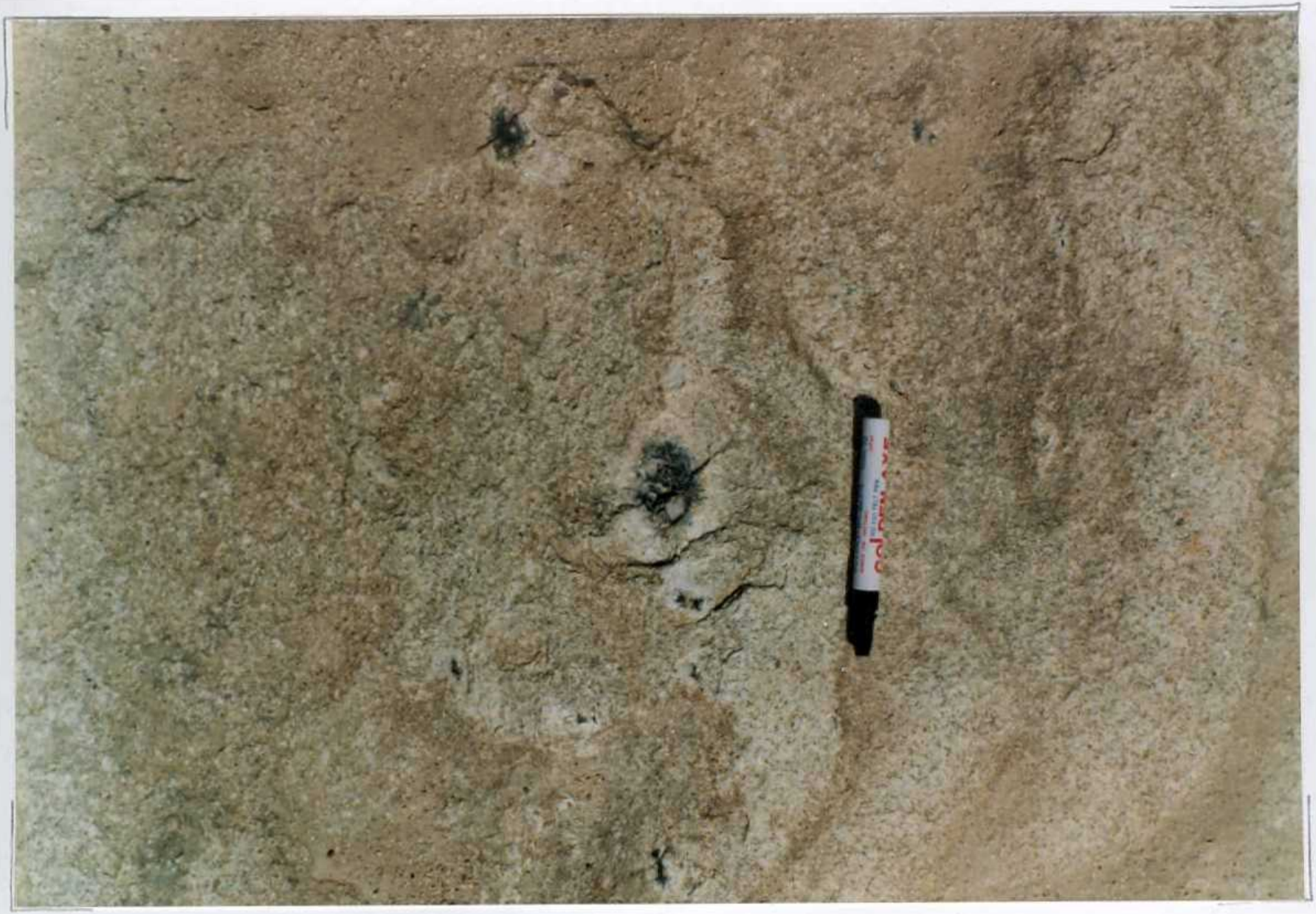


Foto 30.- Detalle de varios "spots" turmaliniferos en la granodiorita del Batolito de los Pedroches.

Unos 2 Kms al noroeste de la Ermita del Cristo de las Injurias.



Foto 4.- Alternancia de areniscas y pizarras del Culm afectadas por el metamorfismo térmico del Batolito de El Guijo. En los niveles arenosos aún se aprecian los trenes de ripples y su laminación interna. Río Guadamatilla al oeste del Cerro Miralrio.



Foto 41.- S_o y S_1 en la pizarras y areniscas de la serie del Culm S 1 según la orientación del lápiz (mas vertical que S_o). ½ Km al noroeste del cruce de las ctras de la Estación de Belalcazar y de Cabeza del Buey.



Foto 44.- Sill de porfido granodioritico intercalado en la base del Culm.

1 Km al noroeste de Belalcazar en el Arroyo de la Dehesa.



Foto 46.- Enclave microgranudo oscuro en la granodiorita del Batolito de los Pedroches. Lapiz orientado N 100 E; los fenocristales del enclave también aparecen orientados según esta dirección. Casi 2 Kms al Noreste de la Casa de la Coneja.



Foto 47.- Enclave microgranudo oscuro orientado N 125 E (lapiz). Batolito de los Pedroches. Misma localidad anterior.



Foto 48.- Aspecto de afloramiento de 2 diques de porfidos graníticos de dirección N 120 E ; en el Batolito de los Pedroches. 1,5 Kms aproximadamente al Suroeste del Cerro de la Colada.



Foto 501.- Panorámica de la ladera sur de la Sierra de Sta Eufemia Horcon; al fondo los crestones de la Cuarcita Armoricana.



Foto 502.- Panorámica del Horcón desde el Castillo de Sta Eufemia, todo ello en ámbito de la Cuarcita Armoricana, en el amplia mente desarrollado flanco norte del Anticlinal de Sta Eufemia



Foto 503.- Desde la Sierra de Sta Eufemia, cerca del Castillo, panorámica hacia el este, dibujándose en primer término el pliegue anticlinal que forma la Cuarcita Armoricana.



Foto 504.- Panorámica de Sta Eufemia desde la carretera de Belalcázar, con un crestón cuarcítico asignado a la Cuarcíta Armoricana: El pueblo está enclavado ya sobre las alternancias Pochico.

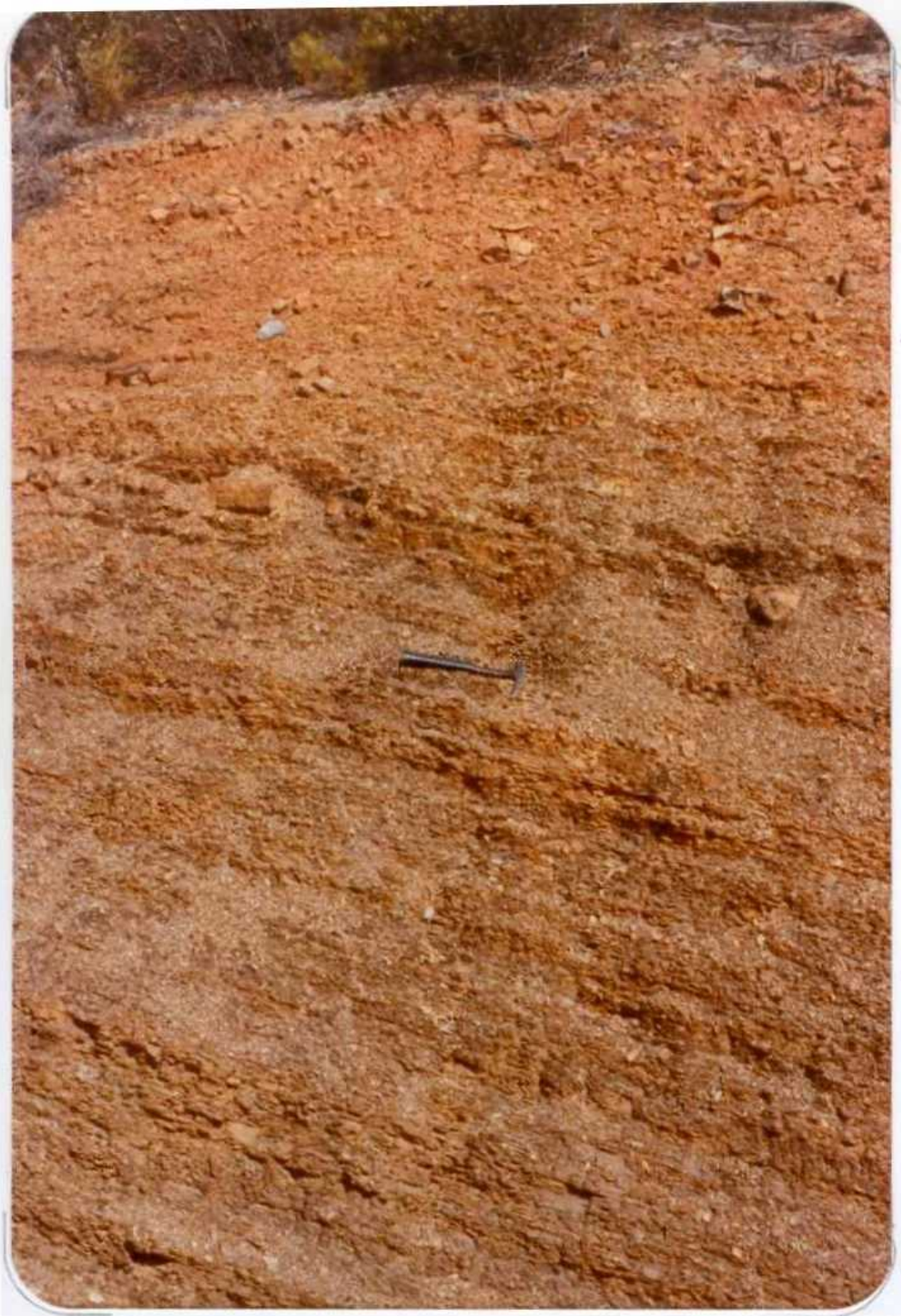


Foto 505.- "Pizarras de Calymene" tal como afloran en el talud de la carretera de Almadén a Posadas, unos 4,5 Kms al Norte de Sta Eufemia. Es característica la presencia de abundantes módulos limolitico-ferruginosos de 1-2 cms de diámetro.



Foto 506.- Aspecto de unos niveles de cuarzo arenitas muy bien estratificados, pertenecientes al tramo de " Alternancias de Canteras", que afloran en el paraje " Arbol del Manzano".



Foto 508 .- Panorámica hacia el norte de las " Alternancias de Canteras" en la que se llegan a ver cuatro alineaciones de cuarcitas. Paraje situado al oeste del " Arbol del Manzano".



Foto 510.- Tramos de alternancia ritmica situados estratigraficamente por debajo de las "Pizarras de Muro", es decir, en el Caradoc.



Foto 511.- Disyunción en lápices (pencil cleavage") en la base de las "Pizarras de Muro".



Foto 512.- Cantera de pizarras caolínicas; equivale al tramo de "Pizarras de Muro" observándose también en la foto las "Cuarcitas de Criadero" dispuestas con un buzamiento muy suave al norte.



Foto 1514.- "Ripple - marks" a techo de un banco de cuarcitas de "Criadero" en el paraje de Solana Cabras, cerca del límite con la Hoja de Chillón.



Foto 516.- Pizarras negras ampeliticas muy exfoliables con grafito y azufre masivo, del Llandovery. En la foto se ve la gran cantidad de graptolites que poseen.



Foto 518.- Sill de composición cuarzoandesítica a cuarzobasaltica de unos 10 mts. de potencia, intercalado en la serie pizarrosa del Silúrico. Talud de la ctra de Almadén, a Posadas justo en el límirte de esta Hoja con la de Chillón.



Foto 519.- Panorámica hacia el oeste del Cordal de la Nava, relieve alineado según N 110E- N 120 E, originado por dos ocrridas cuarcíticas del Devónico. La de la igquierda, apenas visible de cuarcitas azuladas con pizarras mosqueadas a techo y a muro que indican la extensión de la aureola térmica del Stock de El Guijo. La de la derecha, de cuarcitas ferruginosas es la que define verdaderamente la sierra.



Foto 520.- Detalle de un nivel lumaquélico con Braquiópodos (spiriferidos y Rhynconéllidos) que permite datar con precisión la potente serie que aflora en Miramonte y Las Monjas como Frasniense.



Foto 522.- Panorámica de la cantera de calizas situada al este de Sta Eufemia y utilizada para áridos. Edad: Viseense Superior



Foto 523. Conglomerados del tramo superior de la serie del Culm. Paraje " El Risquillo", al oeste del Arroyo del Sotillo.



Foto 524.- Detalle de los anteriores conglomerados, constituidos por cantos redondeados y cuarcitas, grauwackas, pizarras, cuarzo lechoso y aplitas.



Foto.- 525.- Tramo de pizarras con niveles de areniscas donde se ve la relación So / S1. Paraje de " El Risquillo" a pocos mts de un potente tramo de conglomerados que marcan el inicio del flysch Carbonífero.



Foto 527.- S_o y S_1 en la serie de pizarras bandeadas del Culm.

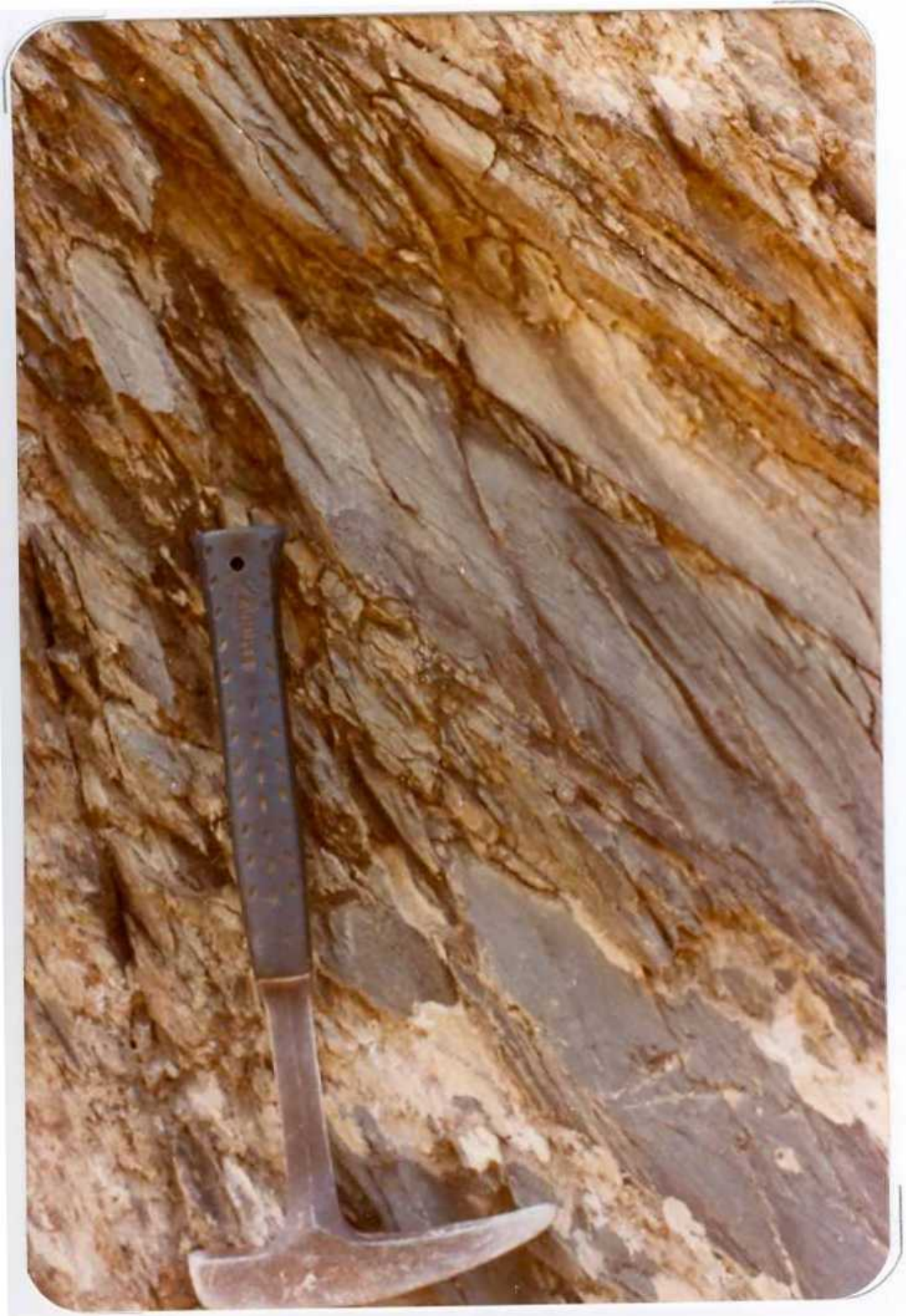


Foto. 528 .- Detalle de la anterior Talud de la ctra de Belalcazar a su estación.



Foto 530.- Pliegues de estilo " chevron" con el plano axial sub-horizontal. Pizarras del Culm. Talud de la cta de Belalcazar a su estación.



Foto 533.- Panorámica hacia el norte del talud formado por el río Guadalmez en su margen oriental, con pizarras ampelíticas del Silúrico, muy replegadas, bajo una capa de conglomerados del Carbonífero Superior.



Foto 535.- Detalle de los conglomerados anteriores con matriz grauwackica y cemento ferrujinoso, que solamente aflora en las proximidades de los relives devónicos, a cuyo desmantelamienco deben su origen.



Foto 543.- Vista panorámica de la localidad de Sta. Eufemia desde la vereda de acceso al Castillo. Al fondo, el Valle de los Pedroches.



Foto 56.- Alternancias de areniscas y pizarras del Culm afectadas por el metamorfismo térmico del Batolito de El Guijo; no obstante, aun se aprecian en los niveles arenosos tienes de ripples algo deformados.

1 Km al noroeste de la Casa de la Majada del Judio.



Foto 57.- Pliegues menores asociados a la "zona de cizalla"; ligeramente verticalizados debido a la intrusión del Batolito de los Pedroches.

Río Guadarramilla, en las proximidades del contacto Culm-Batolito de los Pedroches.



Foto 58 .- Pliegues con la esquistosidad de plano axial horizontal asociados a una "zona de cizalla" que aparece adosada al Batolito de los Pedroches. Asociada a la fase 1 Hercínica y horizontalizada por la intrusión del Batolito de El Guijo. Arroyo de la Cigüeñuela



Foto 6 .- Disyunción bolar de la granodioríta del Batolito de El Guijo Cortijo Covatillas.



Foto 61.- Detalle de la esquistosidad de plano axial asociada a estos pliegues:

Misma localidad.



Foto 62.- Detalle de la fuerte lineación de estiramiento asociada a esta deformación.
Misma localidad.



Foto 67.- Detalle del granito anterior. Misma localidad.

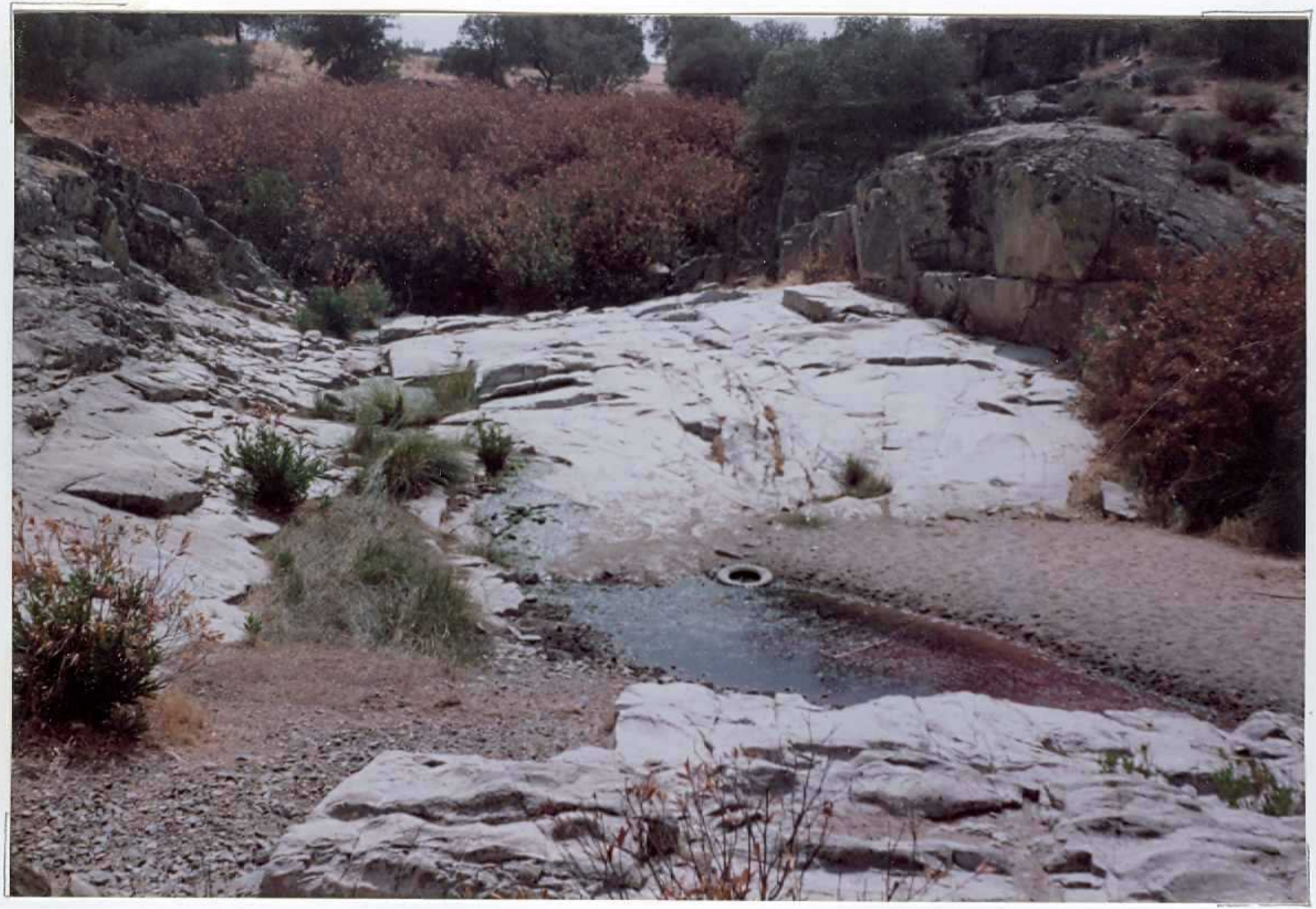


Foto 68.- Aspecto de afloramiento del granito aplitico

Arroyo de la Cigüeñuela. 1 Km al este del Convento de San Alberto



Foto 69.- Pliegue de plano axial horizontal asociados a la anterior " Zona de Cizalla".

500 mts al sur del Cortijo de Montanchez.



Foto 71 .- Idem anterior.

Eje N 130 / 14 NW

Arroyo de la Cigüeñuela, 1 Km al Norte del límite sur de la Hoja



Foto 72.- Pliegues menores de plano axial horizontal asociados a la anterior "zona de cizalla".

Arroyo de la Cigüeñuela, extremo sur de la Hoja.



Foto 73.- Pliegues suaves de fase 3. eje N 130/ 8 NW

Paraje: Molino de la Campana.



Foto 78.- Aspecto de afloramiento del nivel grauwackico que pasa por el Cortijo de Mesones (Extremo NW de la Hoja).



Foto 80 .- Detalle de la facies tipica del Culm: pizarras negras con finas intercalaciones grauwackicas.

Inmediaciones del río Zujar; extremo NW de la hoja.



Foto 88 .- Detalle de la caliza la cual aparece milonitizada; no obstante esta milonitización es muy local. Misma cantera que la foto anterior

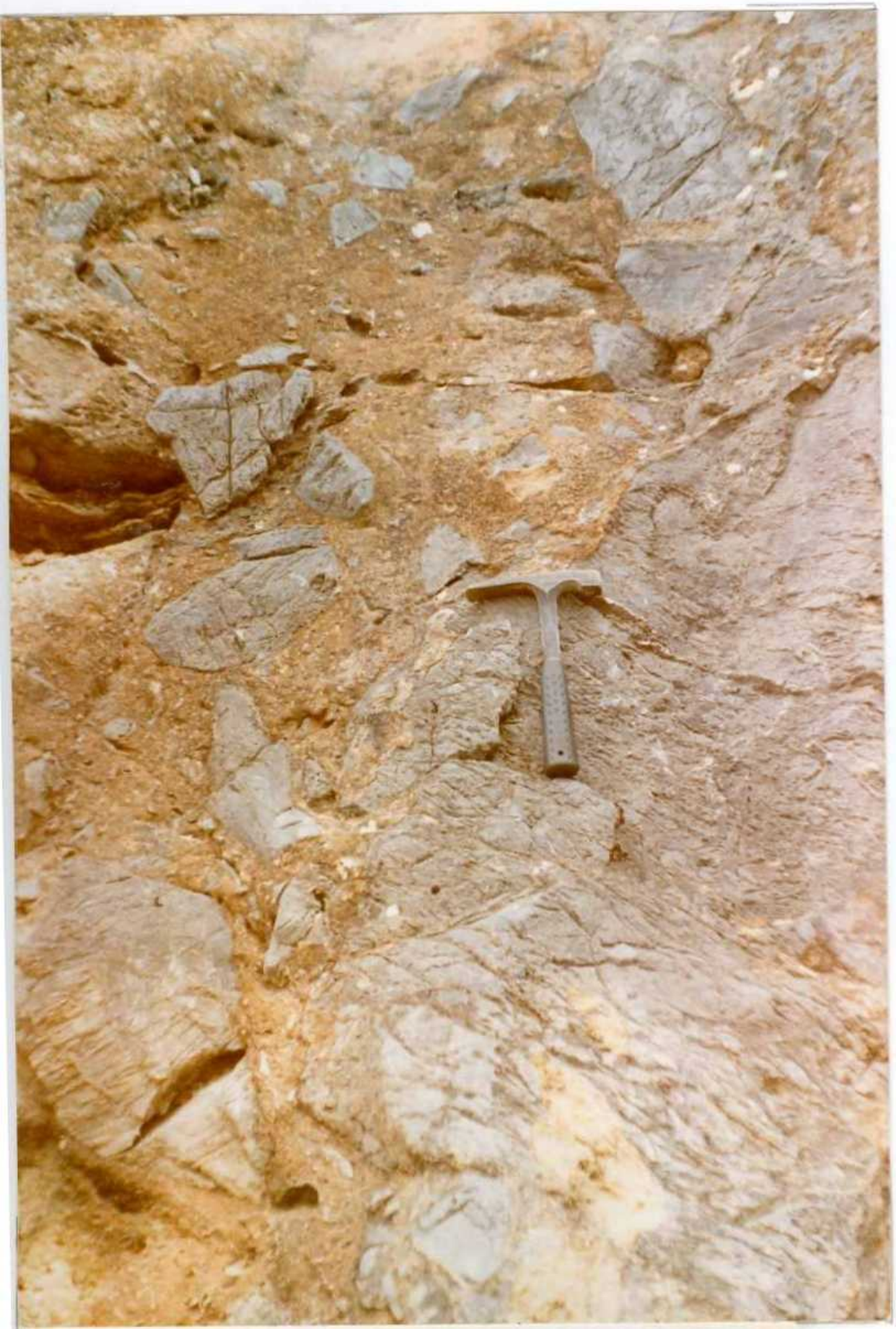


Foto 89 .- Detalle de la anterior caliza la cual se ve claramente brechificada Foto tomada en la cantera situada inmediatamente al oeste de la que ahora mismo está en explotación.